

571
·2

高等学校教学用书



固 体 物 理 引 論

GUTI WULI YINGLUN

下 册

C. 基 特 耳 著
万 绅 民 万 寿 民 譯
蕭 靜 斋 李 明 荣

人民 教育 出版社

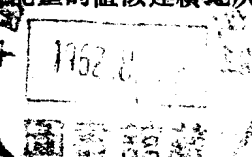
第十一章 固体的能带理論；布里渊区

前章所闡述的金属的自由电子模型，使我們对金属的某些物理性質有了很深的了解，然而对了解其他一些性質來說，自由电子模型是十分不适宜的。它不能帮助我們了解：为什么有些化学元素結晶成为电的良导体，而其他一些元素則形成絕緣体；为什么还有一些元素是半导体，其电的性质隨温度而显著地变化。再者，导体（超导电性除外）的电阻率与絕緣体的电阻率之間的差別也是很明显的：如果注意使样品表面干燥，则低温时純金属的电阻率約为 10^{-8} 欧姆·厘米，而优良絕緣体的电阻率則高达 10^{22} 欧姆·厘米左右。有人^①已經指出：所觀察到的电阻率的这种 10^{30} 的变化范围，可能是物质的任何共同物理性質的最为廣闊的变化范围。

只有当自由电子模型引伸到考慮电子与固体的周期性点陣的相互作用时，对絕緣体和导体之間的差异的实质才能有所了解。晶体中的电子具有的一些极为奇特的性质：我們将看到，这些电子对外施的电場或磁場可能有所感应，好象它們具有有效质量 m^* ，此质量可能大于或小于自由电子的质量，甚至可能为负值。再者，还有一些这样的情况，在其中，宜将一个正电荷 $+|e|$ 归属于晶体中的荷电子（charge carrier）；此荷电子称为空穴，与具有正常的负电荷 $-|e|$ 的电子大不相同。对不熟悉量子理論諸概念的学生來說，学习本章将会有些困难。在玻恩的“原子物理学”中，已經闡述了必需的基本知識。

根据自由电子模型，容許能量的值似連續地从零分布到无限大。在前章中，我們已經知道

① E. M. McMillan, 私人通訊。



$$E = (\hbar^2/2m)(k_x^2 + k_y^2 + k_z^2),$$

式中，对边长为 L 的立方体來說，

$$k_x, k_y, k_z = (2\pi/L)(0, \pm 1, \pm 2, \pm 3, \dots).$$

自由电子的波函数的形式为：

$$\psi \sim e^{i\mathbf{k} \cdot \mathbf{r}}$$

按德布罗意关系，这些波函数表示动量 $\mathbf{p} = \hbar\mathbf{k}$ 的行波。

在前面討論 X 射線及彈性波在晶体中傳播時，我們已經看出，布喇格反射是波在周期性結構中傳播時的一個重要的特性。電子波在晶体中也產生布喇格反射。戴維孫及革末關於電子的波動實質的觀察，就是觀察電子束從晶体表面的布喇格反射。對於我們現在的討論來說，布喇格反射的極其重要的後果，就是它導出傳導電子的能量分布中有能量間隙存在。這就是說，可能有一個這樣重要的能量區域，在其中波動方程的解不存在。這種能量間隙或所謂禁戒能帶，在確定一種固体是絕緣體抑或導體時，具有決定性的意義。如果禁帶以下的所有能級均為電子所占滿，而禁帶以上的所有能級都是空的，這種固体就將是一種絕緣體。

為了解禁帶存在的物理原因，我們試從單原子的一維點陣的簡單課題來看一看。圖 11.1 中定性地表示了低能部分的能量帶結構，其中(a)是對完全自由的電子來說的；而(b)是對這樣一些電子來說的，即它們幾乎是自由的，但在 $k = \pm \pi/a$ 处有一個能量不連續區，因而產生了禁戒能帶。在一維空間中布喇格方程式 $2d \sin \theta = n\lambda$ 變為

$$k = n\pi/a. \quad (11.1)$$

第一級反射在 $k = \pm \pi/a$ 時出現，第一個能量間隙也是在這些點出現。其他諸能量間隙出現在 n 為其他的正負整數之處。因為從第 $(p \pm 1)$ 個原子反射出來的波與第 p 個原子的原始波發生相互增強性的干涉，而對於 $k = \pm \pi/a$ 這些特殊值來說，其相角差剛好是 $\pm 2\pi$ ，故在 $k = \pm \pi/a$ 处發生反射。在這種情況下 k 空間的 $-\pi/a$ 到 π/a 的區域屬於第一布

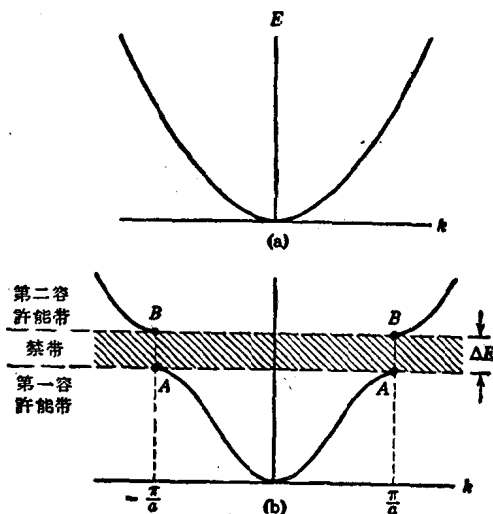


图 11.1. (a)一个自由电子的能量与波矢量的关系图。(b)点阵常数为 a 的单原子线性点阵的能量与波矢量的关系图。所示的能量间隙与 $k = \pm \pi/a$ 时的第一级布喇格反射相关联。

里渊区。在一个布里渊区内，能量是似連續的；而在一个区的边界上，能量可能是不連續的。在一个区的内部，能量为似連續的，而不是連續的，其原因乃是边界条件对此問題所产生的影响。

对于自由电子模型來說，在 $k = \pm \pi/a$ 时定态波函数不是行波，但是在这些特殊的 k 值处的解是均匀地由向左和向右进行的波所組成的，这些波就是駐波。实际上明显得很，当布喇格条件滿足时，解的形式不可能为行波的形式，因为向某一个方向进行的波立即发生布喇格反射，于是就向相反的方向进行。其次的布喇格反射又使波进行的方向反过来。只有定态才是用駐波来表示的。在最低級次的近似法中，当 $k = \pm \pi/a$ 时，有两个独立的駐波解：

$$\begin{aligned}\psi_1 &\approx \sin \pi x/a \approx (e^{i\pi x/a} - e^{-i\pi x/a}); \\ \psi_2 &\approx \cos \pi x/a \approx (e^{i\pi x/a} + e^{-i\pi x/a}).\end{aligned}\quad (11.2)$$

这些解在 $k = +\pi/a$ 及 $k = -\pi/a$ 处都是适用的。从右边的形式可以看出：这些解都是由向右 ($e^{i\pi x/a}$) 和向左 ($e^{-i\pi x/a}$) 进行的、数量相等的波所组成的[参看习题 10.3]。

現在我們必須證明：即使这些函数的波矢量相同，这两个解 ψ_1 、 ψ_2 所对应的能量也是不相同的。在图 11.2(a) 中，我們已經表示出一个傳导电子在一单原子綫性点陣的正离子核心場中静电势能变化的一般性质。我們可以認為离子核心帶正电，因为在形成金属时每个原子失去了一个或更多个的价电子。在(b)中，我們概略地描繪了对应于驻波 ψ_1 及 ψ_2 的电荷密度的分布，以及对应于一个平面行波的分布。我們要注意：如图所示，行波 $\approx e^{ikx}$ 把电子的电荷均匀地分布在通过原点的綫

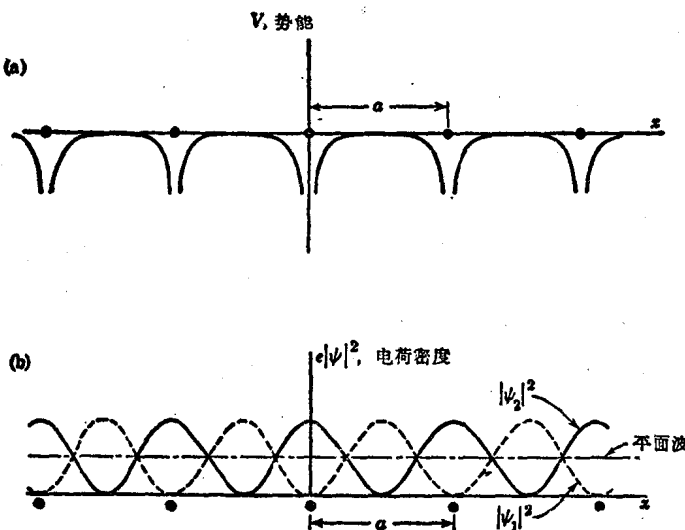


图 11.2. (a) 一传导电子在一单原子綫性点陣的正离子核心場中势能的变化。(b)点陣中几率密度 $|\psi_1|^2 \approx \sin^2 \pi x/a$, $|\psi_2|^2 \approx \cos^2 \pi x/a$ 的分布以及一个平面行波的分布。

以上，駐波 $\psi_1 \approx \sin \pi x/a$ 把電荷主要分布在各離子核心間的中點部分；而駐波 $\psi_2 \approx \cos \pi x/a$ 則把電荷主要分布在離子核心上，在此核心處的勢能最小。根據對這三種電荷分布的勢能的平均值所進行的計算，預計可以發現 ψ_2 的勢能小於一個平面波的勢能，而 ψ_1 的勢能大於平面波的勢能。如果 ψ_1 與 ψ_2 的勢能差為 ΔE ，則根據圖 11.1(b) 我們有一個寬度為 ΔE 的能量間隙。在 A 點的波函數為 ψ_2 ，而在能量間隙以上 B 點處的波函數則為 ψ_1 。

讓我們扼要地綜述一下禁帶是如何發生的。如果當 k 的值離布里淵區邊界 $\pm \pi/a$ 遠時，其波函數可以用平面波 e^{ikx} 來表示的話，則當趨近於邊界時以及布喇格反射即將出現時，在組成波动方程的一個解的時候， e^{ikx} 波就逐漸被一個增加的混合波 $e^{i(k-(2\pi/a))x}$ 所補充，直到區的邊界 $k = \pm \pi/a$ 上，其解成為 $e^{i\pi x/a} \pm e^{-i\pi x/a}$ 時為止。駐波解的推演在附錄 I 中詳細地敘述了。目前重要的一點是： $k = \pm \pi/a$ 時的解組合成為能量不同的駐波，這些能量的不同並非由於動能那一項，而是由於與離子核心相互作用時的勢能項。這兩種波函數，使電子的電荷相對於正離子核心場的分布的方式，截然不同。勢能之差引起 $k = \pm \pi/a$ 处的能帶分裂。

用另外一個方式來考查容許能帶和禁戒能帶的形成也是有益處的；這個方式就是從分開的中性原子的能級出發，並仔細觀察當原子聚集成為金屬時，由於相鄰原子的電荷分布相互重疊而引起的能級變化。從對兩個其電子均處於 $1s$ （基態）狀態下^① 的氫原子聚集的情況來考查，我們就可以了解原子聚集時自由原子的能級分裂成為能帶的根源。這兩個原子分開時的波函數 ψ_A 、 ψ_B 示於圖 11.3(a) 中。當原子聚集得較近，且其波函數相重疊時，就必須考慮 $\psi_A \pm \psi_B$ 這兩種組合。每一

^① 關於氫分子離子結合能的詳細處理參閱 L. Pauling and E. B. Wilson, *Introduction to quantum mechanics*, McGraw-Hill, New York, 1935, Chapter XII.

組合都保存有電子在兩質子間的分布性質，但是在 $\psi_A + \psi_B$ 的狀態時有一個電子的能量比在 $\psi_A - \psi_B$ 時的能量稍低。在前一狀態（示于圖 11.3(b) 中）下，電子在兩個質子間的中心區域內耗費了部分時間，同時在此區域內電子立即受兩個質子的吸引電勢的作用，因而增加了結合能。在 $\psi_A - \psi_B$ 的狀態（示于圖 11.3(c) 中），几率密度在兩個原子核間的中點處為零，故對結合能沒有額外的貢獻。因此，當兩原子聚集時，孤立原子系統的每一能級就形成兩個分離的能級。對於 N 個原子來說，孤立原子系統的每一能級就形成 N 個能級，同時這 N 個能級將與一個能帶或更多個能帶相關聯。

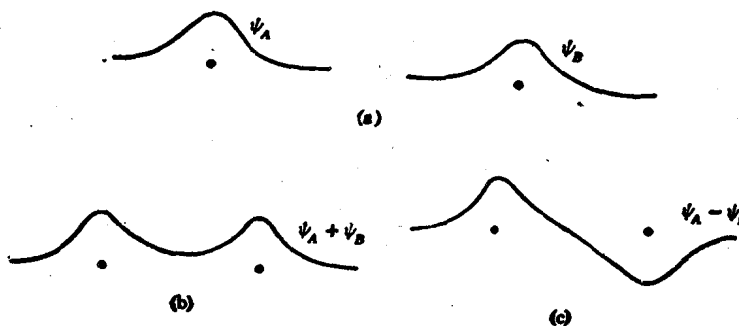


圖 11.3. (a) 两个氢原子相距很远时的电子波函数。

(b) 相距较近时的基本組合态。(c) 受激組合态。

圖 11.4 中概略地描繪了六個氫原子在一條直線上 的結果。當自由電子聚集時，原子核心與電子分布的重迭部分間的庫侖式相互作用，使組合系統的能級分裂成為能帶。自由原子的每一能級 ns 在金屬中就分散成為一個能帶。這裡 n 表示主量子數，而 s 表示為零的軌角動量。能帶的寬度與處在 ns 狀態下的鄰接原子間的相互作用的強度或相互迭加的強度成比例。從自由原子的 p, d, \dots 等等狀態 ($l=1, 2, \dots$)

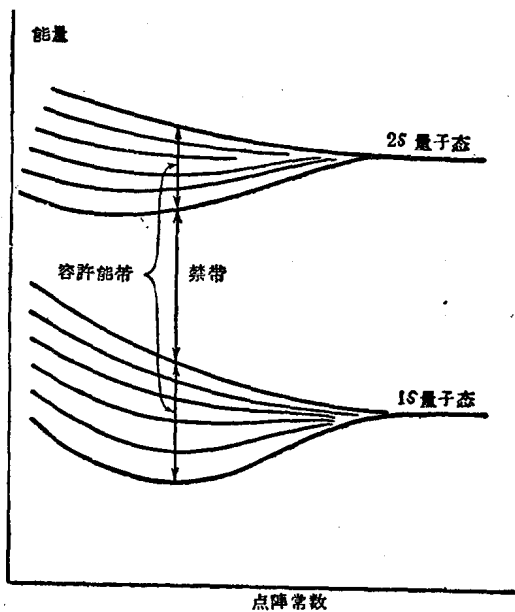


图 11.4. 六个氢原子排成一条直线时，其能级与点阵常数间的依存关系，表明了容許能带和禁戒能带初始形成的情况。当原子运动得愈加相近时，原子间的耦合增加，使能级分裂成为图中所表示的情况。这个问题与一条直线上耦合的电振子或机械振子的问题是相似的。

也可以形成能带。自由原子中简并的 $(2l+1)$ 个能级的每一能级将形成一个能带；而每一能带的能量，在波矢量的任何主要范围内，一般都不会与任何其它能带的能量相同。在布里渊区内某些特殊的地方，可能有两个或更多个的能带的能量是相重合的。图 11.5 中表示由一个 p 能级而形成的诸能带。

从自由原子的波函数出发的近似法称为紧密束缚近似法；在附录 J 中举了一个简单例子来说明它的用途。紧密束缚近似法，对原子的内电子来说，一般认为是很好的，但对传导电子本身来说，通常多半不

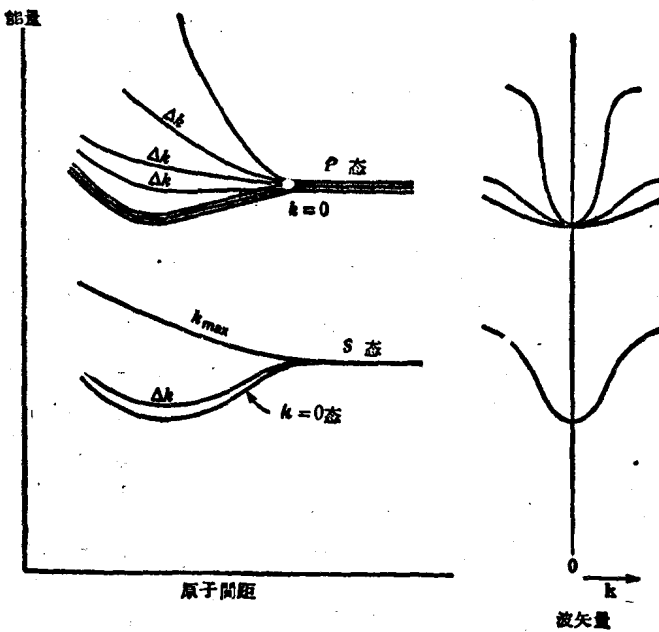


圖 11.5. 軌道簡并对能带结构的影响。

是一个良好的描述方法。此方法常用来近似地描述对过渡金属的 d 能带。紧密束缚近似法能清楚地表明原子数目与能带中能态的数目间的相互关系。

我們將知道：出現能量不連續处的特殊的 k 值与計算波函数或能量时所用的特殊的近似法无关，而是晶体结构的空間群的一个普遍的性质。現在我們如果再来考慮一个单原子的綫性点陣，我們就想起第一容許能带的伸展范围是 $-\left(\frac{\pi}{a}\right) \leq k \leq \left(\frac{\pi}{a}\right)$ 。在此范围内 k 的值可以为 $(2\pi/L)[0, \pm 1, \pm 2, \dots \pm (L/2a)]$ 。 L/a 剛好等于原子的数目，因为

a 是点陣常数, L 为应用周期性边界条件的区域的长度。如果回想到 $k = +\pi/a$ 处的状态不是与 $k = -\pi/a$ 处的状态无关, 而是与其相同, 則可知共有 L/a 个独立的 k 值。再者, 对于每一个 k 值又有两个自旋量子数 m_{so} 。

因此, 我們得到一个重要的結果, 即: 由 L/a 个原子所形成的能帶包含有 $2L/a$ 个能态。如果每个原子把一个价电子貢獻給能帶, 則此能帶的一半將被填滿, 而此固体就将具有金属的特性。如果每个原子貢獻出两个价电子, 則在其他諸能帶的能量不与其迭加的情况下, 此能帶將被完全占滿。如果沒有迭加的能帶, 則我們感兴趣的那個能帶对电导率就沒有貢獻。在此能帶中所有的能态都是被占滿的, 外电場不能使此能帶中的电子改变它們的状态, 因而不能加速它們。故从一个原子的填滿的內电子壳层而形成的能帶, 通常不引起电导率。由于分离开的諸原子的內电子波函数在金属中的迭加并不很多, 故这些能帶是狹窄的。位于下部的狹窄的諸能帶的能量不与外部的空能帶或部分占滿的能帶相迭加。因为密閉壳层中所包含的电子始終是偶数个, 故相应的能帶被占滿。

当固体是一个絕緣体时, 其每个原子或每个晶胞中所包含的电子数必为偶数; 同时, 含有电子的最上部的能帶, 在有关的温度下必与其它上部諸能帶相距一个 $\gg kT$ 的能量間隙。碱土金属虽然是二价的, 但不是絕緣体, 因为如图 11.6 中所示, 其能帶相互交迭。在这种情形下, 无交迭时而可以完全被占滿的能帶沒有完全被占滿, 而无交迭时可以是空的能帶也被占了一部分。碱金属和貴重金属是良导体, 因为它們是单价的而导带(傳导能帶)只有一半被占据。金剛石是絕緣体, 因为它有四个价电子, 且有关諸能帶相距約 5 电子伏特。硅和鎢的价数及晶体結構与金剛石的相同, 但它們都是半导体: 其能帶間的距离約 1 电子伏特。氯化鈉是一种絕緣体; 与每一个陣点相联系的氯化鈉群具有 28 个电子, 这是偶数。在这种情况下, 絶緣体和金属导体間的根本

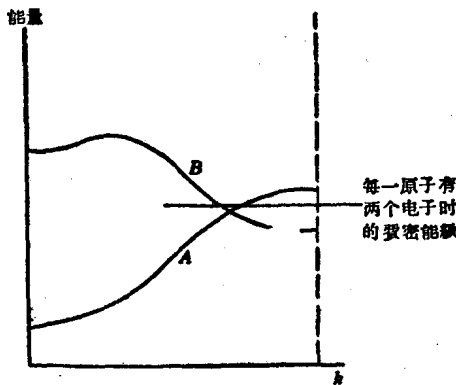


图 11.6. 图中概略地表示了能带 A 和 B 如何交迭，这能够說明二价元素晶体的金属导电性。如图所示，若能带被填滿到費密能級，故 A 几乎被占滿，而 B 只稍被占据。两个能带在 k 空間中的交迭不必在同一个方向。

区别可能归結于价的不同，有时也可能归結于各能带間能量关系上的不同。

周期点陣中的波函数

布洛赫^① 曾証明过这样一条重要的定理，即具有周期性势能的薛定諤方程的諸解的形式为：

$$\psi_{\mathbf{k}} = u_{\mathbf{k}}(\mathbf{r}) e^{i \mathbf{k} \cdot \mathbf{r}}, \quad (11.3)$$

式中 $u_{\mathbf{k}}(\mathbf{r})$ 一般來說是依赖于波矢量 \mathbf{k} 的一个函数，而且是 x, y, z 的周期性函数，其周期性与势能的周期性相同，即与点陣的周期相同。我們看到：平面波 $e^{i \mathbf{k} \cdot \mathbf{r}}$ 已被調制，并具有点陣的周期。公式(11.3)所示的解称为布洛赫函数。

^① F. Bloch, Z. Physik, 52, 555(1928); 此項結果过去的数学家称为弗洛克特定理。

布洛赫結果的一个标准的證明在莫特与琼斯合著的一书第 57 頁到 59 頁中已經叙述了。布洛赫^①根据初等群論作了更为满意的證明。对于此項論証，在此我們只是約略地、不完全地加以叙述。我們考慮長度为 Na 的一个环上的 N 个陣点，同时假定勢能是周期性的，其周期为 a ，則

$$V(x) = V(x+ga), \quad (11.4)$$

式中 g 为整数。由于环的对称性，我們寻找这样一些本征函数 ψ ，使

$$\psi(x+a) = C\psi(x), \quad (11.5)$$

式中 C 为一常数。于是

$$\psi(x+ga) = C^g\psi(x); \quad (11.6)$$

同时，如果本征函数是单值的，

$$\psi(x+Na) = \psi(x) = C^N\psi(x), \quad (11.7)$$

則 C 为 N 个单值根中的一个根，或

$$C = e^{i2\pi g/N}; \quad g = 0, 1, 2, \dots, N-1. \quad (11.8)$$

于是我們有

$$\psi(x) = e^{i2\pi gx/Na}u_g(x) \quad (11.9)$$

这是一个較好的解，在此 $u_g(x)$ 的周期为 a 。令

$$k = 2\pi g/Na, \quad (11.10)$$

我們有

$$\psi_k = e^{ikx}u_k(x), \quad (11.11)$$

此即布洛赫結果。

克罗尼格-彭內模型

我們假設一个一維的周期性方形势阱的結構^②(图 11.7)，并用来

① F. Bloch, Z. Physik, 52, 555(1928); 此項結果过去的数学家称为弗洛克特定理。

② R. de L. Kronig and W. G. Penney, Proc. Roy. Soc., (London) A130, 499 (1931); 也可參閱 D. S. Saxon and R. A. Hulme, Philips Research Repts. 4, 81 (1949); J. M. Luttinger, Philips Research Repts. 6, 303(1951).

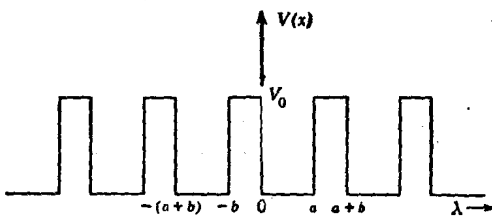


圖 11.7. 克羅尼格-彭內的一維的周期性势能。

說明電子在晶体中傳播的某些特性。此种势阱乃是一个高度人为的模型，但是只需应用初等的函数，就可清楚地对其进行处理。此問題的波动方程是：

$$\frac{d^2\psi}{dx^2} + \frac{2m}{\hbar^2}(E-V)\psi = 0. \quad (11.12)$$

其行波解的形式将是一个調制了的平面波的形式，且此平面波具有点阵的周期性。应用公式(11.11)我們得到形式如

$$\psi = u_k(x) e^{ikx} \quad (11.13)$$

的諸解，式中 $u(x)$ 为 x 的周期性函数，其周期为 $(a+b)$ ，同时由公式(11.13)代入方程式(11.12)来确定，即：

$$\frac{d^2u}{dx^2} + 2ik\frac{du}{dx} + \frac{2m}{\hbar^2}(E-E_k-V)u = 0, \quad (11.14)$$

式中 $E_k = \hbar^2 k^2 / 2m$ 。

在 $0 < x < a$ 的区域内，此方程的解为

$$u = A e^{i(a-k)x} + B e^{-i(a+k)x}, \quad (11.15)$$

如果

$$a = (2mE/\hbar^2)^{\frac{1}{2}}. \quad (11.16)$$

的話。在 $a < x < a+b$ 的区域内，其解为

$$u = C e^{i(a-k)x} + D e^{-(a+k)x}, \quad (11.17)$$

如果

$$\beta = [2m(V_0 - E)/\hbar^2]^{1/2}. \quad (11.18)$$

的話。

常數 A, B, C, D 必須這樣來選擇，使 u 和 du/dx 在 $x=0$ 及 $x=a$ 处都是連續的，同時由於 $u(x)$ 所要求的周期性，它們在 $x=a$ 处的值必等於在 $x=-b$ 处的值。故我們得到四個線性齊次方程：

$$\begin{aligned} A+B &= C+D; \\ i(a-k)A - i(a+k)B &= (\beta - ik)C - (\beta + ik)D; \\ Ae^{i(a-k)a} + Be^{-i(a+k)a} &= Ce^{-(\beta - ik)b} + De^{(\beta + ik)b}; \\ i(a-k)Ae^{i(a-k)a} - i(a+k)Be^{-i(a+k)a} &= \\ &= (\beta - ik)Ce^{-(\beta - ik)b} - (\beta + ik)De^{(\beta + ik)b}. \end{aligned}$$

只有當系數的行列式為零時或^①

$$\frac{\beta^2 - a^2}{2a\beta} \sinh \beta b \sin a a + \cosh \beta b \cos a a = \cos k(a+b) \quad (11.19)$$

時，這些方程才有一個解。為了得到一個較為便利的方程，我們用一個周期性的 δ 函數來表示勢能，此函數在通過極限 $b=0$ 和 $V_0=\infty$ 時，使 $\beta^2 b$ 保持一個有限的值。令

$$\lim_{\substack{b \rightarrow 0 \\ \beta \rightarrow \infty}} \frac{\beta^2 ab}{2} = P, \quad (11.20)$$

故條件(11.19)變為：

$$P \frac{\sin aa}{aa} + \cos aa = \cos ka. \quad (11.21)$$

此超越方程對 a 來說必有一個解，以便使公式(11.13)那樣形式的波函數存在。

在圖 11.8 中，對於任意值 $P=3\pi/2$ 的情況，我們把公式(11.21)的左邊作為 aa 的函數而繪成圖形。因為右邊中的余弦項的值只能在 $+1$ 和 -1 之間，故 aa 只有這樣一些值才是容許的，即它們使公式

^① 讀者在證明這點以前應參看下節中的另一種推導法。

(11.21) 的左边位于此范围之内。 αa 的容许范围在图中用粗线来表示，同时通过 $a = [2mE/\hbar^2]^{1/2}$ 的关系， αa 的这些范围就对应着能量 E 的容许范围。 αa 容许范围的诸边界对应着 $k = n\pi/a$ 的诸值。图 11.9 中描绘了 E 对 k 的关系。

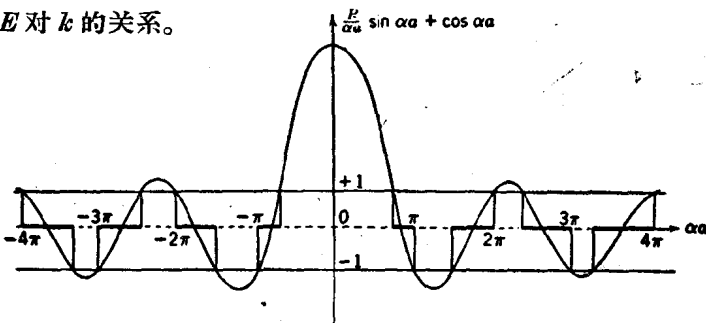


图 11.8. $P=3\pi/2$ 时，函数 $P \frac{\sin \alpha a}{\alpha a} + \cos \alpha a$ 的图形。能量 E 的容许值由 $\alpha = [2mE/\hbar^2]^{1/2}$ 的那些容许范围来给定，这些范围使函数位于 $+1$ 和 -1 之间。

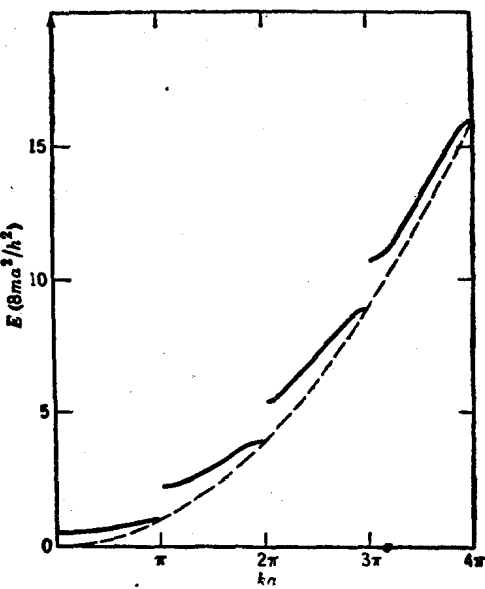


图 11.9. 对于克罗尼格-彭内势能及 $P=3\pi/2$ 时能量与波数的关系图。
(取自索末菲及贝特的工作)

若 P 小，則禁戒範圍消失。 $P \rightarrow \infty$ ，則 aa 的容許範圍化為諸點 $n\pi$ ($n = \pm 1, \pm 2, \dots$)。能譜變為不連續的，同時本征值

$$E = n^2 h^2 / 8ma^2$$

就是在邊長為 a 的一個方盒內一電子的本征值。

克羅尼格-彭內結果的另一種推導法

在此我們將用直接的方法來推求對於 δ 势陣函數的結果 [公式 (11.21)]，以避免公式 (11.19) 所引起的那樣巨大的辛苦。我們首先注意到：在 δ 函數下的區域內， $\beta \gg k$ ，故 d^2u/dx^2 在此區域內比 du/dx 大很多。這時我們的邊界條件是：在一個 δ 势函數的極限內， u 的值在整個勢能中都是連續的；或者是採用周期性條件，

$$A + B \approx Ae^{i(\alpha-k)a} + Be^{-i(\alpha+k)a}; \quad (11.22)$$

再者，諸導數間的聯繫，如下式所示，即：

$$\begin{aligned} (du/dx)_a &\approx (du/dx)_0 - (d^2/dx^2)_0 b \approx (du/dx)_0 - b\beta^2 u(0) = \\ &= (du/dx)_0 - (2P/a)u(0), \end{aligned} \quad (11.23)$$

式中 P 由公式 (11.20) 來確定。故

$$\begin{aligned} [i(\alpha-k) - (2P/a)]A - [i(\alpha+k) + (2P/a)]B &= \\ = i(\alpha-k)Ae^{i(\alpha-k)a} - i(\alpha+k)e^{-i(\alpha+k)a}B. \quad (11.24) \end{aligned}$$

方程式 (11.22) 及 (11.24) 有一個解時的行列式方程為

$$\begin{vmatrix} 1 - e^{i(\alpha-k)a} & 1 - e^{-i(\alpha+k)a} \\ i(\alpha-k)(1 - e^{i(\alpha-k)a}) - (2P/a) & -i(\alpha+k)(1 - e^{-i(\alpha+k)a}) - (2P/a) \end{vmatrix} = 0.$$

此式易于乘算出來，並給出公式 (11.21) 的結果。

波矢量為零的波函數

在前章中我們曾着重指出自由電子模型在單價金屬中的用處，而在本章中我們又着重指出孤立原子的狀態的重要性以及傳導電子與離子核心間的相互作用。讀者對這兩章的討論可能會感到其間存在着某種矛盾。幸而我們結果弄清楚了：在單價金屬中，這種矛盾有時只是表

面上的。在一个能带中的能量与波矢量間的依存关系，可能与一个自由电子的能量同波矢量之間的依存关系相近似；然而其时波函数可能完全不象平面波，但在正离子核心上聚积的电荷之多，可能与在孤离原子的情况下相同。

在前章中自由电子模型的重要結果就是关系式

$$E_{\mathbf{k}} = (\hbar^2/2m)k^2. \quad (11.25)$$

此結果的真正重要的部分，就是能量取决于波矢量的二次方。从此关系来考慮，我們能够把所处理的范围扩大。用

$$E_{\mathbf{k}} = (\hbar^2/2m^*)k^2, \quad (11.26)$$

即使比例常数改变，我們也能概括所有結果；式中 m^* 叫做有效质量。对于費密能、热容量、磁化率、尤其是电导率等的表示式中，我們可以简单地用 m^* 来代替 m 。

讓我們先看一看： $E_{\mathbf{k}} \approx (\hbar^2/2m)k^2$ ，而波函数又不象平面波的这种情况要怎样才能发生。設我們已解出在周期性势能及 $\mathbf{k}=0$ 的情况下的波动方程，并求得解 $\psi=u_0(\mathbf{r})$ ；此 $u_0(\mathbf{r})$ 具有点陣的周期性，且其形式自然地反应出离子核心附近势能的变化。其次，我們构成函数

$$\psi=u_0(\mathbf{r})e^{i\mathbf{k}\cdot\mathbf{r}}. \quad (11.27)$$

此函数是布洛赫形式[公式(11.3)]的函数，但一般來說并不是波动方程的准确解，因为我們已經刪去了 u 取决于 \mathbf{k} 的关系。然而很明显：此函数比起一个平面波來說，多半是更接近于真正的波函数。即使 $u_0(\mathbf{r})$ 所表示的調制可能很强，但正象在平面波的情况下一样，近似解的能量依然取决于 \mathbf{k} ，且为 $(\hbar^2/2m)k^2$ 。我們將按照下述方法来計算能量的平均值。按照量子力学中取平均值的习惯，我們有

$$\bar{E} = \int u_0^*(\mathbf{r})e^{-i\mathbf{k}\cdot\mathbf{r}} \left[-\frac{\hbar^2}{2m}\nabla^2 + V(\mathbf{r}) \right] e^{i\mathbf{k}\cdot\mathbf{r}} u_0(\mathbf{r}) d\mathbf{r}. \quad (11.28)$$

今有

$$\nabla e^{i\mathbf{k}\cdot\mathbf{r}} u_0(\mathbf{r}) = i\mathbf{k} e^{i\mathbf{k}\cdot\mathbf{r}} u_0(\mathbf{r}) + e^{i\mathbf{k}\cdot\mathbf{r}} \nabla u_0(\mathbf{r});$$